FEM 温度応力解析における膨張材効果の導入手法に関する一考察

名城大学大学院 学生会員 ○山口 将太 名城大学 正会員 石川 靖晃

1. はじめに

温度応力解析などの初期応力解析において、膨張材効果に関する検討が、近年多く行われている。膨張材効果を導入する手法として、総エネルギー一定則に基づく FEM 応力解析手法 1)があり、この手法は拘束度の影響は自動的に考慮される.一方、その他の導入手法としてひび割れ制御指針 2)や東ら 3)による手法などがある。ところが、各導入手法による膨張材効果についての比較は十分行われていないことが現状である。本研究では、東ら 3)によって行われた膨張収縮挙動実験結果について、総エネルギー一定則に基づく手法 1)、ひび割れ制御指針 2)による手法および東ら 3)による手法により比較検討を行うことを目的とした。

2. 膨張材効果を考慮する各手法の概要

2.1 総エネルギー一定則に基づく手法 1)

石川ら 1)は、膨張材料の総エネルギーが、拘束条件に依らず一定であるという考え方(総エネルギー一定則)を三次元の主応力方向に次式のように適用することで膨張材効果を表現している.

$$\sigma_{1}\Delta\varepsilon_{che,1} = -\Delta U'_{che}$$

$$\sigma_{2}\Delta\varepsilon_{che,2} = -\Delta U'_{che}$$

$$\sigma_{3}\Delta\varepsilon_{che,3} = -\Delta U'_{che}$$
(1)

ここで, σ は主応力, $arepsilon_{che}$ は主応力方向の自由膨張 ひずみ, $\Delta U'_{che}$ は,一軸状態における総エネルギー増分である.

式(1)で表される自由膨張ひずみ成分を有限要素解析 code に初期 ひずみとして与えることで、膨張材の効果を応力解析に導入するこ とができる.

2.2 JCI ひび割れ制御指針に基づく手法 2)

JCI ひび割れ制御指針では、拘束鋼材の膨張ひずみを初期ひずみとして与えることにより膨張材効果を考慮している.

$$\varepsilon_{ex}(t_e) = \varepsilon_{ex,\infty} \left[1 - \exp\left\{ -a_{ex} \left(t_e - t_{ex,0} \right)^{b_{ex}} \right\} \right]$$
 (2)

ここで、 $\mathcal{E}_{ex}(t_e)$ は有効材齢 t_e (日)における膨張ひずみ(×10-6)、 $\mathcal{E}_{ex,\infty}$ は膨張ひずみの終局値(×10-6)、 a_{ex} , b_{ex} はセメントの種類が膨張ひずみの進行特性に及ぼす影響を表わす係数、 $t_{ex,0}$ は膨張開始時点の有効材齢(日)である.

2.3 東らによる手法 3)

東らは、拘束圧依存パラメータで変化させた膨張ひずみを初期ひず みとして与えることにより膨張材効果を考慮している.

$$\varepsilon_{ci} = \left(\varepsilon_0 - \varepsilon_f\right) / \left(1 + a\sigma_i\right) + \varepsilon_f \tag{3}$$

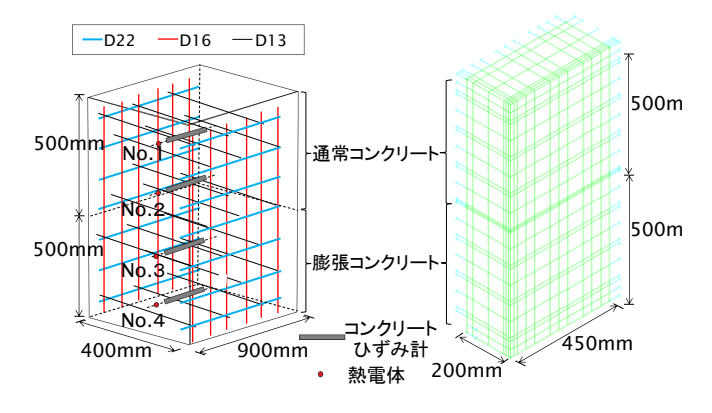


図-1 試験体

表-1

図-2 解析モデル

凶-2 解析セアル

解析に用いた材料特性

材料特性	値もしくは式
熱伝導率	2.7 W/m℃
比熱	1.1 5kJ/kg°C
密度	2300 kg/m ³
断熱温度上昇量 $Q(t)$	$Q(t) = 44.02 (1 - e^{(-1.036(t-1))})^{\circ}$
(t:材齢)	Q(t) = 44.02(1 e)
圧縮強度 $f'_c(t)$	$f_c'(t) = 34$ N/mm ²
ヤング係数 $E(t)$	$E(t) = 4700 f_c^{0.5} \text{ N/mm}^2$
ポアソン比	0.2
線膨張係数	10×10 ⁻⁶ (1/°C)

図-3 温度履歴

ここで、 ε_{ci} はi 方向の膨張ひずみ、 ε_0 は無拘束膨張試験の膨張ひずみ、 ε_f は拘束無限大の膨張ひずみ、a は拘束 圧依存パラメータ、 σ_i はi 方向の拘束圧(N/mm²)である.

キーワード 膨張材 総エネルギー一定則 ひび割れ制御指針

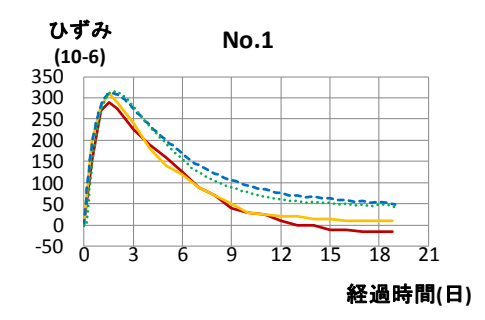
連絡先 住所:愛知県名古屋市天白区塩釜口1-105 電話:052-838-2324

3. 実測試験体概要

東ら 3によって行われた実験試験体を図-1に示す。東らは、RC 試験体・無筋試験体について検討を行っている。無筋試験体については文献 4)で既に行っているため、本論文では RC 試験体について比較検討を行う。試験体は、全高 100cm、水平長さ 90cm、厚さ 40cm であり、周囲すべてに 10cm 厚の発砲スチロールを設置している。下部の 50cm 高さに膨張コンクリートを打設し、引き続いて 60 分後に上部 50cm 高さに通常コンクリートを打設したものとしている。コンクリートの配合の詳細については省略するが、水結合比 55%、単位セメント量 282kg/m³、単位膨張材量 20kg/m³ となっている。セメントは普通ポルトランドセメントを使用している。また、水平長手方向に D22 鉄筋を 150mm ピッチ、鉛直方向に D16 鉄筋を 150mm ピッチ、壁厚さ方向に中間帯鉄筋として D13 鉄筋を D22 鉄筋の高さ格段に 3 本ずつ配置している。断面に対する鉄筋比はそれぞれ、D22 が 1.39%、D16 が 0.66%、D13 が 0.3%である。水平方向の測定のためにコンクリートひずみ計を高さ方向に 4 点設置している。

4. 実測値と総エネルギー一定則及び自由膨張ひずみ直接代入法の比較検討

解析モデルを図-2に示す. モ デルは、東ら3によって解析さ れたモデルを基に作成し 1/4 対 象モデルとした. 解析に用いた 材料特性を表-1に示す. 拘束条 件は, 図-2に示されるモデル周 囲にて青色矢印で示されている. 膨張材の考慮について,「総エネ ルギー一定則」、「JCI 指針」、「東 らによる解析値」の3ケースを 想定した. なお, ひび割れ制御 指針 2008 を「JCI 指針」と称し ている. また, 上記のケースに 加え膨張材非考慮の場合の解析 についても行った. 温度履歴を 図-3に示す. 実測値の最高温度 は材齢 1.56 日で 57.5℃である.



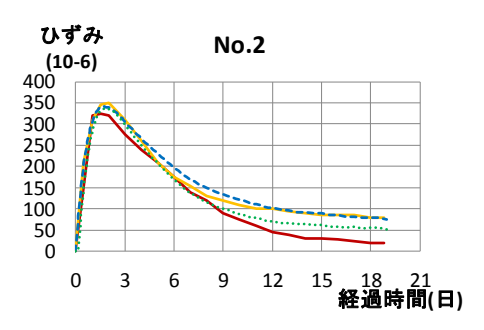
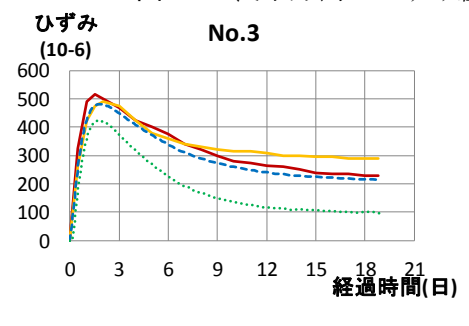


図-4 長手方向のひずみ経時変化(通常コンクリート)



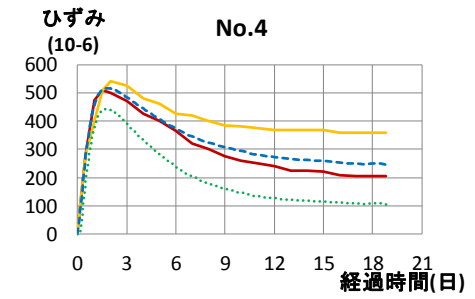


図-5 長手方向のひずみ経時変化(膨張コンクリート)

—実測値 — 解析値(東ら) ---解析値(総エネルギー一定則) ····· 解析値(JCI指針)

解析モデルの最高温度は材齢 1.65 日で 57.7℃であり、実測値とほぼ一致していることがわかる. 各測定位置 の長手方向におけるひずみの経時変化を図-4,5に示す. 膨張材が含まれない領域においては各手法の差はあまり見られないが、膨張材を含んだ領域においては各手法により差が生じていることが確認できる. また、「JCI 指針」ではひずみが実測値より小さく、東らの手法ではひずみが実測値より大きくなっていることが確認された。これらの原因としては L/H が小さいことが考えられる. 今後は L/H が異なる実測値を基に比較検討の実施および補強の違いによる膨張材効果の検討を行いたいと考えている.

5. おわりに

本研究の範囲内で,各膨張効果導入手法と実測値との比較検討を行った結果,L/H が小さい場合、各膨張効果導入手法に大きな差が生じる可能性が示唆された.

参考文献

- 1) 石川靖晃, 柴田要: 仕事量一定則に基づく膨張コンクリートの変形挙動に関する基礎的研究, コンクリート工学年次論文集, Vol.30, No.1, pp.351-356, 2008
- 2) マスコンクリートのひび割れ制御指針,社会法人 日本コンクリート工学協会 2009,pp.55
- 3) 東邦和,中村敏晴,梅原秀哲:膨張材を用いた打重ね実験による膨張収縮挙動と解析手法の適用,コンクリート年次論文集,Vol.31,No.1,pp.1537-1542, 2008
- 4) 山口将太, 石川靖晃:膨張材の効果を考慮した各種温度応力解析手法並びに実測値との比較検討, 土木学会中部支部研究発表会 2012,pp. 433-434